



## СТЕРОИДНЫЕ СОЕДИНЕНИЯ ИЗ ДАЛЬНЕВОСТОЧНЫХ МОРСКИХ ЗВЕЗД *Henricia aspera* И *H. tumida*

© 2005 г. Э. В. Левина<sup>#</sup>, А. И. Калиновский, В. А. Стоник,  
П. С. Дмитренок, П. В. Андрияшенко

Тихоокеанский институт биоорганической химии Дальневосточного отделения РАН,  
690022, Владивосток, просп. 100-летия Владивостока, 159  
Поступила в редакцию 01.12.2004 г. Принята к печати 07.02.2005 г.

Из двух видов дальневосточных морских звезд *Henricia aspera* и *H. tumida*, собранных в Охотском море, выделены шесть новых природных соединений, в том числе из *H. aspera* два новых гликозилированных полиола: асперозид **A**, строение которого установлено как  $(20R,24R,25S)-3-O-(2,3-ди-O-метил-β-D-ксилопиранозил)-24-метил-5α-холест-4-ен-3β,6β,8,15α,16β,26-гексаол$ , и асперозид **B**, имеющий структуру  $(20R,24R,25S)-(22E)-3-O-(2,4-ди-O-метил-β-D-ксилопиранозил)-24-метил-5α-холест-22-ен-3β,4β,6β,8,15α,26-гексаола$ . Два других гликозилированных полиола: тумидозид **A**, структурно идентифицированный как  $(20R)-(22E)-3-O-(2,4-ди-O-метил-β-D-ксилопиранозил)-26,27-динор-24-метил-5α-холест-22-ен-3β,4β,6β,8,15α,25-гексаол$ , и тумидозид **B**, имеющий строение  $(20R,24S)-3-O-(2,3-ди-O-метил-β-D-ксилопиранозил)-5α-холестан-3β,4β,6β,8,15α,24-гексаола$ , выделены из обеих видов звезд, а два новых стероидных полиола:  $(20R,24S)-5α-холестан-3β,6β,15α,24-тетраол$  и  $(20R,24S)-5α-холестан-3β,6β,8,15α,24-пентаол$  идентифицированы только в *H. tumida*. Кроме того, в экстрактах из обоих видов идентифицированы известные моногликозиды хенрициозид **H** и левискулозиды **G**.

**Ключевые слова:** *Henricia aspera*, *H. tumida*; полигидроксистероиды; гликозиды; агликоны; масс-спектры, MALDI-TOF;  $^1H$ - и  $^{13}C$ -ЯМР-спектры.

### ВВЕДЕНИЕ

Морские звезды являются богатым источником новых полярных стероидов, обладающих широким спектром биологической активности [1]. Продолжая изучение физиологически активных полигидроксилированных стероидов и их производных из разных видов морских звезд семейства Echinasteridae [2–4], в данной работе мы выделили из экстрактов дальневосточных морских звезд *Henricia tumida* и *H. aspera* четыре новых гликозида, имеющих полигидроксилированные стероидные фрагменты и присоединенные по их C3-положению 2,3-ди-*O*-метил- или 2,4-ди-*O*-метил-*D*-ксилозильные остатки. В этих же видах морских

звезд были найдены два новых стероидных полиола и идентифицированы три ранее известных стероидных гликозида.

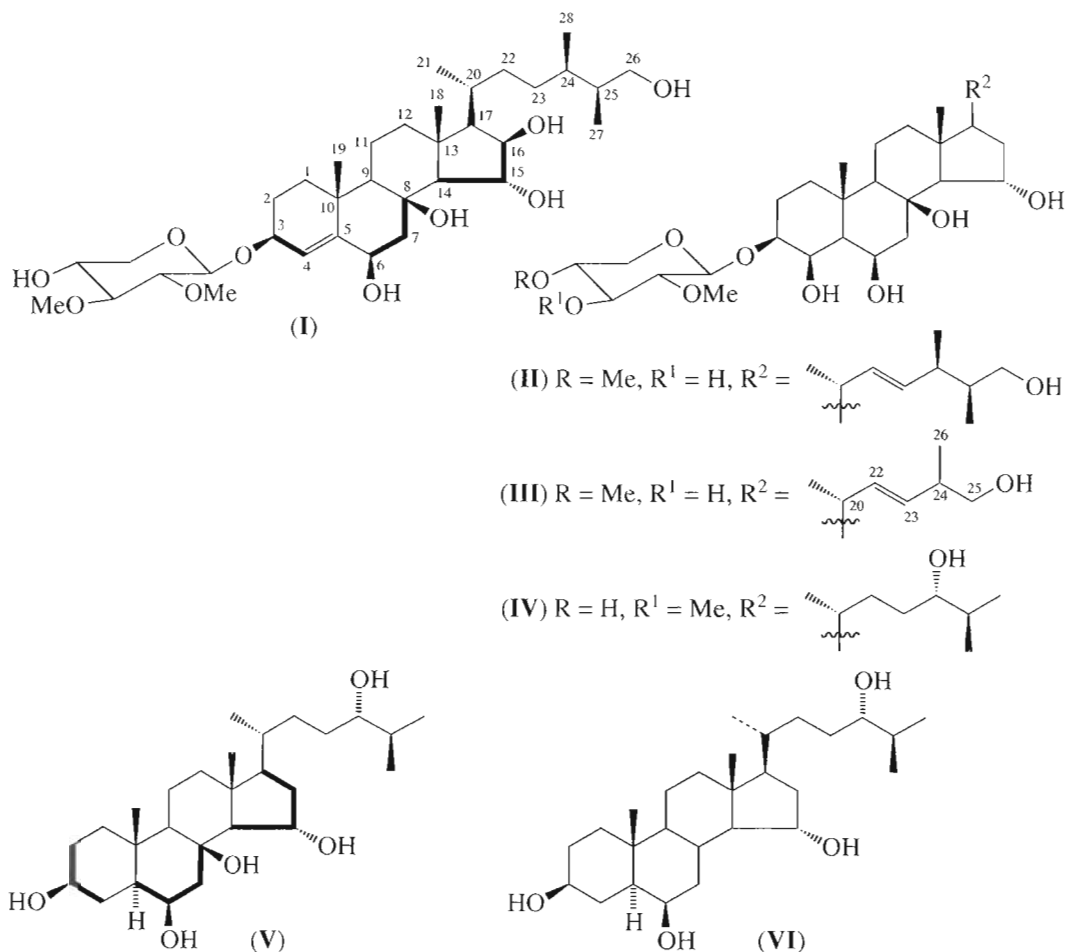
### РЕЗУЛЬТАТЫ И ОБСУЖДЕНИЕ

Новые стероидные соединения (I)–(VI) были выделены из этанольных экстрактов морских звезд *H. aspera* и *H. tumida* хроматографией на амберлите XAD-2, сефадексе LH-60, флоризиле и силикагеле с последующей ВЭЖХ на колонках ODS-A и Силасорб C<sub>18</sub> как описано в работе [4]. Установление строения (I)–(VI) проводилось в основном спектральными методами (ЯМР, MALDI-TOF- и EI-масс-спектрометрия) (табл. 1–4, “Эксперимент. часть”).

Псевдомолекулярный пик  $[M + Na]^+$  с  $m/z$  663 в масс-спектре MALDI-TOF (регистрация катионов) и данные  $^{13}C$ - и  $^1H$ -ЯМР для соединения (I) отвечают молекулярной формуле C<sub>35</sub>H<sub>60</sub>O<sub>10</sub>. Так, спектры  $^{13}C$ -ЯМР и DEPT свидетельствуют о наличии в его молекуле 35 атомов углерода, в том числе 7 метильных, 9 метиленовых, 15 метиновых групп и 4 четвертичных атома С. Химический сдвиг (ХС) аномерного атома углерода ( $\delta$  104.5 м.д.) и константа спин-спинового взаимодействия (КССВ) аномерного протона ( $J$  7.4 Гц) в спектре  $^1H$ -ЯМР (CD<sub>3</sub>OD) указывают на  $\beta$ -конфигурацию гликозида.

Сокращения: MALDI-TOF – Matrix Assisted Lazer Desorption/Ionization Time of Flight Mass Spectrometry – масс-спектрометрия с лазерной десорбцией/ионизацией, усиленной матрицей; DEPT – Distortionless Enhancement by Polarization Transfer – неискаженное усиление переносом поляризации; HMBC – Heteronuclear Multiple Bond Connectivity – гетероядерная многополосная (многосвязная) корреляция; HSQC – Heteronuclear One Quantum Connectivity – гетероядерная одноквантовая корреляция; HMQC – Heteronuclear Multiple Quantum Connectivity – гетероядерная многоквантовая корреляция;  $^1H$ - $^1H$ -COSY – Correlated Spectroscopy – корреляционная спектроскопия; EIMS – Electron Ionization Mass Spectrometry – масс-спектрометрия с ионизацией электронами.

<sup>#</sup>Автор для переписки (факс: (4232) 31-40-50; эл. почта: levina@piboc.dvo.ru).



зидной связи. При кислотном гидролизе гликозида (I) получена 2,3-ди-*O*-Ме-*D*-ксилоза, идентифицированная методами ТСХ и ГЖХ (перацетаты альдононитрилов) при сравнении со стандартным соединением.

Значения ХС С1–С22, С1'–С5' и Н3–Н22, Н1'–Н5' в ЯМР-спектрах ( $CD_3OD$ ), так же как КССВ соответствующих протонов гликозида (I) (табл. 1, 3), совпадают с таковыми в спектрах описанного ранее хенрициозида Н<sub>3</sub> (Ia) из морской звезды *Nepricia* sp. [5]. Это свидетельствует об идентичности поликлинической части и углеводных остатков, локализованных у С3 в этих соединениях. Близость других сигналов позволила предположить, что соединения (I) и (Ia) являются изомерами, различающимися только стереохимией асимметрических центров в 26-гидроксиэргостанового типа боковой цепи. 20*R*-Конфигурация была приписана асимметрическому центру С20 гликозида (I) на основании величины ХС Н21-атомов CH<sub>3</sub>-группы при С20 ( $\delta$  0.93 м.д.). Проведено сравнение спектров ЯМР стероидов (I) и (Ia) (у которого стереохимия боковой цепи не была определена) со спектрами модельных 24-метил-26-гидрокстериоидов с установленной стереохимией асимметрических цент-

ров боковой цепи, а именно: (24*R*,25*S*)-24-метил-5 $\alpha$ -холеста-3 $\beta$ ,4 $\beta$ ,6 $\beta$ ,7 $\alpha$ ,8,15 $\beta$ ,16 $\beta$ ,26-октаола (Iб) и (24*R*,25*S*)-24-метил-5 $\alpha$ -холеста-3 $\beta$ ,5,6 $\beta$ ,15 $\alpha$ ,16 $\beta$ ,26-гексаол 26-сульфата (Iв) из морских звезд *Solaster borealis* [6] и *Luidia clathrata* [7] (табл. 2).

Полученное хорошее совпадение ХС протонов и атомов С в боковых цепях для (I) и (Iб), (Iв) дает основание считать, что соединение (I), названное нами асперозидом А, имеет 24*R*,25*S* стереохимию, наиболее распространенную в полиолах подобного строения из морских звезд [8].

С помощью двумерной спектроскопии ЯМР, включая  $^1H$ - $^1H$ -COSY и эксперименты HSQC и HMBC, мы выполнили отнесение сигналов всех атомов С и Н боковой цепи в гликозиде (I) и подтвердили вывод о том, что этот гликозид имеет строение (20*R*,24*R*,25*S*)-3-*O*-(2,3-ди-*O*-метил- $\beta$ -*D*-ксилопиранозил)-24-метил-холест-4-ен-3 $\beta$ ,6 $\beta$ ,8,15 $\alpha$ ,16 $\beta$ ,26-гексаола.

В MALDI-TOF-масс-спектре (с регистрацией положительно заряженных ионов) гликозида (II) наблюдается псевдомолекулярный пик с  $m/z$  663 [ $M + Na$ ]<sup>+</sup>, отвечающий молекулярной формуле C<sub>35</sub>H<sub>60</sub>O<sub>10</sub>. При сравнении спектральных характеристик стероида (II) и выделенного нами ранее из

*Henricia sanguinolenta* сангвинозида C ( $20R,24R,25S$ )-(22E)-3-*O*-(2,3,4-три-*O*-метил- $\beta$ -*D*-ксилопиранозил)-24-метил-5 $\alpha$ -холест-22-ен-3 $\beta$ ,4 $\beta$ ,6 $\beta$ ,8,15 $\alpha$ ,24-гексаола (**IIa**) [4] получено полное совпадение XC протонов и атомов С агликоновой части и различие в сигналах моносахаридного остатка. Из спектров следовало также, что стереохимия асимметрических центров и конфигурация двойной связи в боковой цепи для этих соединений аналогичны.

При кислотном гидролизе гликозида (**II**) получили 2,4-ди-*O*-метил-*D*-ксилозу, идентифицированную методами ТСХ и ГЖХ (перацетаты альдононитрилов) сравнением со стандартным образцом. В то же время сигналы протонов и атомов С моносахаридного остатка C1'-C5' были идентичны соответствующим сигналам в спектре форбезида I (**IIb**) из *Asterias forbesi* (табл. 3) [9], что подтверждает наличие 2,4-ди-*O*-метил-*D*-ксилозного остатка в гликозиде (**II**). На основании всех полученных данных гликозиду, названному нами асперозидом **B**, было приписано строение ( $20R,24R,25S$ )-(22E)-3-*O*-(2,4-ди-*O*-метил- $\beta$ -*D*-ксилопиранозил)-24-метил-5 $\alpha$ -холест-22-ен-3 $\beta$ ,4 $\beta$ ,6 $\beta$ ,8,15 $\alpha$ ,26-гексаола (**II**).

В молекуле стероидного гликозида (**II**), названного тумидозидом A (выделен из *H. tumida* и *H. aspera*) по данным спектров  $^{13}\text{C}$ -ЯМР имеется 33 атома С, в том числе атомы 6 метильных, 8 метиленовых, 16 метиновых групп и 3 четвертичных атома. В MALDI-TOF-масс-спектре (с регистрацией положительно заряженных ионов) наблюдается псевдомолекулярный пик с  $m/z$  651 [ $M + \text{Na}$ ] $^+$ , подтверждающий молекулярную формулу  $C_{34}\text{H}_{60}\text{O}_{10}$ . Согласно данным спектров ЯМР, относительная стереохимия асимметрических центров боковой цепи аналогична установленной ранее для форбезида I [9]. На основании изложенных результатов тумидозиду **B** (**IV**) приписано строение ( $20R,24S$ )-3-*O*-(2,3-ди-*O*-метил- $\beta$ -*D*-ксилопиранозил)-5 $\alpha$ -холестан-3 $\beta$ ,4 $\beta$ ,6 $\beta$ ,8,15 $\alpha$ ,24-гексаола.

окисления пищевых стеринов в некоторых видах морских звезд.

При сравнении спектральных характеристик стероидного производного (**IV**) и ( $20R,24S$ )-3-*O*-(2,4-ди-*O*-метил- $\beta$ -*D*-ксилопиранозил)-5 $\alpha$ -холестан-3 $\beta$ ,4 $\beta$ ,6 $\beta$ ,8,15 $\alpha$ ,24-гексаола, форбезида I (**II**) из морской звезды *A. forbesi* [9] получено полное совпадение XC и КССВ протонов и атомов С агликоновой части и различие в сигналах моносахаридного остатка. Гликозид (**IV**), выделенный из морских звезд *H. tumida* и *H. aspera* и названный тумидозидом **B**, при кислотном гидролизе давал 2,3-ди-*O*-метил-*D*-ксилозу, идентифицированную сравнением со стандартным образцом. XC атомов С и протонов моносахаридного остатка в спектре соединения (**IV**) совпадали с соответствующими значениями в спектрах асперозида A (**I**) (табл. 1, 3).

В MALDI-TOF-масс-спектре гликозида (**IV**) (с регистрацией положительно заряженных ионов) наблюдается псевдомолекулярный пик с  $m/z$  651 [ $M + \text{Na}$ ] $^+$ , подтверждающий молекулярную формулу  $C_{34}\text{H}_{60}\text{O}_{10}$ . Согласно данным спектров ЯМР, относительная стереохимия асимметрических центров боковой цепи аналогична установленной ранее для форбезида I [9]. На основании изложенных результатов тумидозиду **B** (**IV**) приписано строение ( $20R,24S$ )-3-*O*-(2,3-ди-*O*-метил- $\beta$ -*D*-ксилопиранозил)-5 $\alpha$ -холестан-3 $\beta$ ,4 $\beta$ ,6 $\beta$ ,8,15 $\alpha$ ,24-гексаола.

Псевдомолекулярные ионы с  $m/z$  475 [ $M + \text{Na}$ ] $^+$  и 491 [ $M + \text{K}$ ] $^+$  в MALDI-TOF-масс-спектре положительных ионов стероида (**V**), выделенного из *H. tumida*, а также данные спектроскопии  $^{13}\text{C}$ - и  $^1\text{H}$ -ЯМР указывают на молекулярную формулу  $C_{27}\text{H}_{48}\text{O}_5$ . Спектры  $^{13}\text{C}$ -ЯМР и DEPT (табл. 4) свидетельствуют о наличии в молекуле (**V**) 27 атомов С, включая атомы 5 метильных, 9 метиленовых, 10 метиновых групп и 3 четвертичных атома С. Исходя из этих данных, мы предположили для соединения (**V**) насыщенную пентагидроксихолестановую структуру. Строение стероида (**V**) установлено с помощью двумерной спектроскопии ЯМР, включая  $^1\text{H}$ - $^1\text{H}$ -COSY-спектроскопию и эксперименты HSQC и HMBC (табл. 4).

Химические сдвиги и соответствующие КССВ протонов H3 ( $\delta$  3.59 м.д., м), H6 (3.86 м.д., кв.,  $J$  3.0), H15 ( $\delta$  4.28 м.д., дт,  $J$  3.4; 9.6), а также XC C1-C12 и C19 в спектрах ЯМР стероида (**V**) ( $CD_3OD$ ) совпадают с сигналами аналогичных атомов в спектрах (22E)-5 $\alpha$ -холест-22-ен-3 $\beta$ ,6 $\beta$ ,8,15 $\alpha$ ,24-пентаола (**Va**) и его 15-сульфатированного производного (**Vb**) из морских звезд семейства Echinasteridae [12] и *Coscinasterias tenuispina* [13], что указывает на 3 $\beta$ ,6 $\beta$ ,8,15 $\alpha$ -тетрагидроксилированное ядро в стероиде (**V**). В то же время XC протонов и атомов C13-C27 и C18-H<sub>3</sub> совпадают с сигналами аналогичных атомов в спектре тумидозида **B** (**IV**), что подтверждает идентичность боковых цепей соединений (**IV**) и (**V**). На 15 $\alpha$ -положение четвер-

Так как морские 24-метил-26,27-динорстерины ранее были найдены в фитопланктоне [11], то обнаружение полярных стероидов, подобных соединению (**III**), с укороченными окисленными боковыми цепями свидетельствует о возможности

**Таблица 1.** ЯМР-спектры гликозидов (**I**) и (**IV**) ( $\text{CD}_3\text{OD}$ ;  $\delta$ , м.д.,  $J$ , Гц)

Номер атома	( <b>I</b> )			( <b>IV</b> )	
	$\delta_{\text{C}}$ , DEPT	$\delta_{\text{H}}$ ( $J$ )	HMBC	$\delta_{\text{C}}$ , DEPT	$\delta_{\text{H}}$ ( $J$ )
1	39.7 $\text{CH}_2$	1.78 м		40.9 $\text{CH}_2$	
2	27.9 $\text{CH}_2$	1.75 м ( <i>a</i> ), 1.97 м ( <i>e</i> )		25.2 $\text{CH}_2$	
3	77.5 CH	4.18 м		80.5 CH	3.63 м
4	127.0 CH	5.64 уш. с (1.6)	C2, C3, C10	74.6 CH	4.27 м
5	148.5 C			50.4 CH	
6	76.4 CH	4.31 т (3.0)	C8	76.1 CH	4.27 м
7	44.4 $\text{CH}_2$	2.57 дд (3.0; 14.4); 1.49 м	C8, C9	45.2 $\text{CH}_2$	
8	76.2 C			76.7 C	
9	57.9 CH	1.03 м		57.6 CH	
10	37.7 C			36.8 C	
11	19.5 $\text{CH}_2$	1.47 м; 1.87 м		19.3 $\text{CH}_2$	
12	43.0 $\text{CH}_2$	1.19 м; 1.97 м		42.7 $\text{CH}_2$	
13	45.1 C			45.5 C	
14	63.7 CH	1.02 д (10.5)		66.5 CH	
15	81.0 CH	4.14 дд (2.6; 10.7)	C16	70.1 CH	4.27 м
16	82.9 CH	3.97 дд (2.7; 7.6)	C15	41.6 $\text{CH}_2$	
17	60.5 CH	1.21 дд (8.0; 12.0)		55.9 CH	
18	16.8 $\text{CH}_3$	1.13 с	C12, C13, C14, C17	15.3 $\text{CH}_3$	0.95 с
19	22.7 $\text{CH}_3$	1.28 с	C1, C5, C9, C10	18.6 $\text{CH}_3$	1.43 с
20	30.4 CH	1.85 м		36.3 CH	
21	18.5 $\text{CH}_3$	0.93 д (6.7)	C17, C20, C22	19.0 $\text{CH}_3$	0.94 д (5.6)
22	34.7 $\text{CH}_2$	1.47 м		33.3 $\text{CH}_2$	
23	32.7 $\text{CH}_2$	1.27 м		31.5 $\text{CH}_2$	
24	35.0 CH	1.55 м		78.1 CH	3.20 м
25	41.2 CH	1.62 м		34.6 CH	
26	66.9 $\text{CH}_2$	3.35 м; 3.47 м		17.5 $\text{CH}_3$	0.91 д (6.7)
27	12.0 $\text{CH}_3$	0.81 д (7.0)	C24, C25, C26	19.5 $\text{CH}_3$	0.93 д (6.7)
28	14.7 $\text{CH}_3$	0.79 д (7.0)	C23, C24, C25		
2' (OMe)	60.9 $\text{CH}_3$	3.55 с		60.9 $\text{CH}_3$	3.60 с
3' (OMe)	61.1 $\text{CH}_3$	3.60 с		60.8 $\text{CH}_3$	3.61 с
1'	104.6 CH	4.42 д (7.6)	C3	104.6 CH	4.44 д (7.0)
2'	84.8 CH	2.86 дд (7.6; 9.1)	C1', C3', 2' (OMe)	84.8 CH	2.86 дд (7.6; 9.1)
3'	87.3 CH	3.03 т (8.9)	C2', C4', 3' (OMe)	87.3 CH	3.03 т (8.9)
4'	70.9 CH	3.51 м		70.9 CH	3.53 м
5'	66.6 $\text{CH}_2$	3.16 т (10.0); 3.78 дд (5.5; 11.0)	C1', C4', C3'	66.6 $\text{CH}_2$	3.16 т (10.0); 3.78 дд (5.5; 11.0)

той гидроксильной группы в ядре указывает величина ХС С14 при  $\delta_{\text{C}}$  66.6 м.д. и сдвиг в сильное поле сигналов С18-Н<sub>3</sub> ( $\delta_{\text{H}}$  0.96 и  $\delta_{\text{C}}$  15.3 м.д.) и С17 ( $\delta_{\text{C}}$  55.9 м.д.) в сравнении со спектрами 8,15 $\beta$ -дигидроксистероидов [13]. Мультиплетность сигнала Н15(СН) и КССВ Н15 и Н14 ( $J_{14,15}$  9.6 Гц) (табл. 4) также подтверждает  $\alpha$ -конфигурацию гидроксильной группы, поскольку в 15 $\beta$ -дигидроксисте-

роидах значение КССВ находится в пределах 5.3–6.5 Гц [14].

Строение полиола (**V**) подтверждено спектрами COSY-90 и HSQC, позволившими выполнить отнесение всех атомов С и Н в спектрах ЯМР. На формуле полиола (**V**) выделены линии, указывающие фрагменты, в которых последовательнос-

**Таблица 2.** ХС сигналов боковой цепи асперозида А (**I**) и полиолов (**IIb**), (**IVb**) ( $\delta$ , м. д.,  $J$ , DPX-300, AC-250, CD<sub>3</sub>OD)

АТОМ	( <b>I</b> )		( <b>IIb</b> ) [6]		( <b>IVb</b> ) [7]	
	<sup>1</sup> H	<sup>13</sup> C	<sup>1</sup> H	<sup>13</sup> C	<sup>1</sup> H	<sup>13</sup> C
20		30.4		34.8		30.9
21	0.93 д (6.7)	18.5	0.99 д (7.0)	17.5	0.98 д (7.0)	18.5
22		34.7		34.3		34.9
23		32.7		32.5		32.3
24		35.0		34.8		35.1
25		41.2		40.9		38.3
26	3.35 м; 3.47 м	66.9	3.38 дд (10.5, 7); 3.52 дд (10.5, 5.2)	66.7	3.38 дд (10.5, 7.0); 3.51 дд (10.5, 5.2)	72.5
27	0.81 д (7.0)	12.0	0.85 д (7.0)	14.5	0.83 д (6.8)	14.8
28	0.79 д (7.0)	14.7	0.84 д (7.0)	11.8	0.84 д (6.8)	12.0

**Таблица 3.** Некоторые данные спектров <sup>1</sup>H- и <sup>13</sup>C-ЯМР моносахаридной части гликозидов (**I**)–(**IV**) из *H. aspera* и *H. tumida* ( $\delta$ , м. д.,  $J$ , DPX-300, AC-250, CD<sub>3</sub>OD)

Соединение	H1'		H2'		H3'		H4'		H5'		OCH <sub>3</sub>	
	$\delta_H$	$\delta_C$	$\delta_H$	$\delta_C$	$\delta_H$	$\delta_C$	$\delta_H$	$\delta_C$	$\delta_H$	$\delta_C$	$\delta_H$	$\Delta_C$
(I)	4.42 д (6.0)	106.5	2.87 дд (6.0; 9.0)	84.8	3.03 т (9.0)	87.3	3.51 м	70.9	3.79 дд (5.5; 11.0); 3.17 т (10.3)	66.6	3.55 с; 3.69 с	60.9; 61.1
(Ia)	4.42 д (7.5)	104.3	2.87 дд (7.5; 9.0)	84.7	3.03 т (9.0)	87.2	3.50 м	70.8	3.79 дд (5.5; 11.0); 3.16 т (11.0)	66.6	3.55 с; 3.60 с	60.7; 60.7
(II), (III)	4.44 д (7.5)	102.5	2.90 дд (7.6; 9.0)	84.7	3.42 т (9)	76.7	3.20 м	80.9	3.14 т; 4.00 дд (11.1; 3.7)	64.2	3.56 с; 3.59 с	59.0; 61.0
(IIb)	4.45 д (7.4)	102.61	2.95 т (8.0)	84.75	3.45 т (8.9)	76.75	3.20 м	80.98	3.16 дд (11.2; 10.7); 4.02 дд (11.2; 5.0)	64.25	3.46 с; 3.62 с	59.07; 61.11
(IV)	4.42 д (7.5)	104.5	2.87 дд (6.0; 9.0)	84.8	3.03 т (9.0)	87.3	3.50 м	70.9	3.79 дд (5.5; 11.0); 3.17 т (10.3)	66.6	3.56 с; 3.59 с	60.8; 61.0

ти протонов установлены этими экспериментами. На основании всех полученных данных полиолу (**V**) приписано строение (20R,24S)-5 $\alpha$ -холестан-3 $\beta$ ,6 $\beta$ ,8,15 $\alpha$ ,24-пентаола.

Спектры <sup>13</sup>C-ЯМР и DEPT (табл. 4) стероида (**VI**) свидетельствуют о наличии в молекуле 27 атомов С, включая 5 метильных групп, 9 метиленовых, 11 метиновых и 3 четвертичных атома С. Из этих данных следует, что полиол (**VI**) имеет насыщенную тетрагидроксихолестановую структуру. Данные масс-спектров ("Эксперимент. часть"), так же как данные <sup>13</sup>C- и <sup>1</sup>H-ЯМР-спектроскопии, указывают на молекулярную формулу C<sub>27</sub>H<sub>48</sub>O<sub>4</sub>.

Предположения о положениях функциональных групп в циклической части молекулы были сделаны в результате сравнения <sup>1</sup>H- и <sup>13</sup>C-ЯМР-спектров (CD<sub>3</sub>OD) стероида (**VI**) и известного 5 $\alpha$ -холестан-3 $\beta$ ,6 $\beta$ ,15 $\alpha$ ,16 $\beta$ ,26-пентаола (**VIa**) из морской звезды *Haselia attenuata* [15]. Хорошее совпадение значений ХС атомов C1–C12, C19–H<sub>3</sub>, а также ХС сигналов протонов H3 (3.54 м.д., м), H6 (3.74 м.д., кв,

2.7 Гц) и C19–H<sub>3</sub> (1.03 м.д., с) указывали на наличие 3 $\beta$ ,6 $\beta$ -диольной группировки в стероиде (**VI**).

Величина ХС (табл. 4) и мультиплетность соответствующего сигнала H15 в спектре соединения (**VI**) ( $\delta_H$  3.88 м.д., дт,  $J$  3.2; 9.3) совпадали с соответствующими значениями в спектре 24-O- $\beta$ -D-килопиранозил-5 $\alpha$ -холестан-3 $\beta$ ,6 $\beta$ ,15 $\alpha$ ,24 $\xi$ ,26-пентаола (**VIb**) из морской звезды *Solaster dawsoni* [16]. Кроме того, ХС сигналов C13–C21 в <sup>13</sup>C-ЯМР-спектре полиола (**VI**) были близки соответствующим значениям для гликозида (**VIb**), что предполагало идентичность строения этой части молекулы в обеих соединениях. Строение (**VI**) было установлено с помощью двумерной спектроскопии ЯМР, включающей <sup>1</sup>H-<sup>1</sup>H-COSY, HMBC- и HSQC-эксперименты. Эксперименты показали последовательность протонов от H2(CH) до H9(CH) и далее до H11(CH<sub>2</sub>) и H8(CH)–H14(CH), и далее до H17(CH), подтверждив таким образом строение циклической части молекулы (**VI**). Сигналы протонов боковой цепи образуют интенсивные кросс-пики в

Таблица 4. Данные ЯМР-спектров полиоксистероидов (V) и (VI) ( $\delta$ , м.д., CD<sub>3</sub>OD, DPX-300, DRX-500; AC-250)

АТОМ	(V)			(VI)		
	$\delta_C$ , мульт. <sup>***</sup>	$\delta_H$ ( $J$ , Гц)	HMBC	$\delta_C$ , мульт. <sup>**</sup>	$\delta_H$ ( $J$ , Гц)	HMBC
1	41.4 CH <sub>2</sub>	1.70 м ( <i>e</i> ); 1.94 м ( <i>a</i> )		39.9 CH <sub>2</sub>	0.97 м; 2.13 м	
2	31.7 CH <sub>2</sub>	1.20 м* ( <i>e</i> ); 1.75 м* ( <i>a</i> ) (1.48–1.59)*		32.2 CH <sub>2</sub>	1.40 м; 1.74 м	
3	72.4 CH	3.59 м		72.4 CH	3.54 м	
4	36.3 CH <sub>2</sub>	1.58 м, 1.83 м		36.4 CH <sub>2</sub>	1.55 м; 1.75 м	
5	* * *	1.23 м		48.7 CH	1.14 м	
6	74.2 CH	3.86 кв (3.0)		72.5 CH	3.74 кв (2.7)	
7	45.4 CH <sub>2</sub>	1.57 м ( <i>a</i> ); 2.38 дд (3.0; 14.0)		40.8 CH <sub>2</sub>	1.31 м; 2.13 дт (3.2; 14.5)	
8	77.2 C			31.4 CH	1.95 м	
9	57.2 CH	0.96 м		55.8 CH	1.73 м	
10	36.7 C			36.6 C		
11	19.8 CH <sub>2</sub>	1.54 м; 1.83 м		22.1 CH <sub>2</sub>	1.39 м; 1.53 м	
12	42.9 CH <sub>2</sub>	1.23 м; 1.97 м		41.6 CH <sub>2</sub>	1.23 м; 1.97 м	
13	45.5 C			44.9 C		
14	66.6 CH	1.20 м	C8, C15, C16, C18	63.8 CH	1.07 м	
15	70.0 CH	4.28 тд (3.4; 9.6)		74.2 CH	3.88 тд (3.2; 9.3)	
16	41.6 CH <sub>2</sub>	1.70 м; 1.92 м	C13, C15, C17	41.8 CH <sub>2</sub>	1.73 м; 1.92 м	
17	55.9 CH	1.36 м		55.0 CH	1.40 м	
18	15.3 CH <sub>3</sub>	0.96 с	C12, C13, C14, C17	13.8 CH <sub>3</sub>	0.75 с	C12, C13, C14, C17
19	15.9 CH <sub>3</sub>	1.16 с	C1, C5, C9, C10	16.3 CH <sub>3</sub>	1.03 с	C1, C5, C9, C10
20	36.3 CH	1.36 м		36.9 CH	1.40 м	
21	19.0 CH <sub>3</sub>	0.92 д (5.7)	C17, C22	19.2 CH <sub>3</sub>	0.95 д (5.5)	C17, C20, C22
22	33.3 CH <sub>2</sub>	0.98 м; 1.61 м		33.6 CH <sub>2</sub>	1.65 м	
23	31.6 CH <sub>2</sub>	1.20 м*; 1.75 м* (1.48–1.59)*		31.5 CH <sub>2</sub>	1.21 м; 1.56 м	
24	78.1 CH	3.20 м		78.1 CH	3.20 м	
25	34.6 CH	1.61 м		34.6 CH	1.62 м	
26	17.5 CH <sub>3</sub>	0.91 д (6.9)	C24, C25, C27	17.5 CH <sub>3</sub>	0.89 д (7.0)	C24, C25, C27
27	19.5 CH <sub>3</sub>	0.88 д (6.9)	C24, C25, C26	19.5 CH <sub>3</sub>	0.91 д (7.0)	C24, C25, C27

\* Отнесение неоднозначное.

\*\* Мультиплетность измерена при DEPT.

\*\*\* Сигнал под растворителем.

HMBC-спектрах: C26-H<sub>3</sub> ( $\delta_H$  0.89 м.д.) и H27(CH<sub>3</sub>) ( $\delta_H$  0.91 м.д.)/H25(CH) ( $\delta_H$  1.62 м.д.) и H25(CH)/H24(CH) ( $\delta_H$  3.20 м.д.), что подтверждает наличие 24-гидроксихолестанового типа боковой цепи в (VI). На основании полученных данных стериоиду (VI) приписано строение (20*R*,24*S*)-5*α*-холестан-3*β*,6*β*,15*α*,24-тетраола. Это соединение отличается только конфигурацией гидроксильной группы у C15 от выделенного нами ранее полиола из *H. sanguinolenta* [17], но поскольку их спектры ЯМР

были определены в разных растворителях, то прямого сравнения этих спектров не проводилось.

Найденные нами новые полярные стериоиды (V) и (VI) с 3*β*,6*β*,15*α*-гидроксилированием увеличивают серию ранее известных полигидроксилированных соединений из морских звезд. Идентификация известных гликозидов левискулозидов I, H, G в изученных нами видах морских звезд выполнена благодаря совпадению их физических констант, а также MALDI-TOF- и ЯМР-спектров с

таковыми для гликозидов, выделенных ранее нами и итальянскими авторами из *H. leviuscula* [2, 3, 17].

Для выделенных соединений мы определили минимальные концентрации ( $C_{min}$ ), останавливающие деление оплодотворенных яйцеклеток на стадии первого дробления, а также вызывающие обездвиживание спермий морского ежа *Strongylocentrotus intermedius*. На яйцеклетках гликозиды (I)–(IV) показали умеренную цитостатическую активность:  $C_{min}$  (М) =  $7.8 \times 10^{-8}$  (I) и (II);  $8.2 \times 10^{-8}$  (III) и  $4.0 \times 10^{-8}$  (IV). Для стероидов (V) и (VI) эти значения составили  $1.14 \times 10^{-7}$  и  $1.16 \times 10^{-7}$  М. Полное обездвиживание спермий морского ежа ( $OD_{50} \text{ ч}^{-1}$ ) наблюдалось при вдвое больших концентрациях выделенных соединений. Полученные данные согласуются с описанными ранее [4] для стероидных производных из морских звезд.

Таким образом, настоящее и предшествующие исследования указывают на большое разнообразие полярных стероидов из морских звезд рода *Henricia*. Оно в какой-то мере соответствует широкой биологической вариабельности изученных к настоящему времени видов этого рода. Известный специалист по систематике морских звезд В. Фишер еще в 1911 году писал: “Будучи хорошо знаком с изменчивостью морских звезд, я никогда раньше не встречался с такими крайними примерами, которые присутствуют у видов этого рода” [18].

## ЭКСПЕРИМЕНТАЛЬНАЯ ЧАСТЬ

Спектры  $^1\text{H}$ - и  $^{13}\text{C}$ -ЯМР регистрировали на спектрометрах Bruker AC-250 ( $^1\text{H}$  – 250,  $^{13}\text{C}$  – 62.9 МГц), Bruker DPX-300 ( $^1\text{H}$  – 300,  $^{13}\text{C}$  – 75.5 МГц) и Bruker DRX-500 ( $^1\text{H}$  – 500,  $^{13}\text{C}$  – 125.7 МГц, внутренний стандарт – тетраметилсилан, 22°C). Оптическое вращение измеряли на поляриметре Perkin-Elmer 141 в MeOH. MALDI-TOF-масс-спектры получали на масс-спектрометре Biflex III (Bruker, Германия) с лазерной ионизацией/десорбцией ( $\text{N}_2$ -лазер 337 нм) с помощью матрицы. Образец растворяли в метаноле (10 мг/мл) и анализировали аликвоту 1 мкл, используя в качестве матрицы  $\alpha$ -цианогидроксикоричную кислоту. ВЭЖХ проводили на хроматографе Du Pont Model 8800, используя рефрактометрический детектор и колонки, заполненные Диасфер-110-C<sub>18</sub> (5 мкм, 4 × 250 мм) и YMC-Pack ODS-A (5 мкм, 12 нм, 10 × 250 мм). Температуры плавления определяли на столике Leica Galen II. ТСХ выполняли на пластинках Sorbfil с закрепленным на фольге слоем силикагеля CTX-1A (5–17 мкм, Россия, Краснодар). Колоночную препаративную хроматографию проводили на силикагеле L (80–100 и 200–250 меш, Chemapol, Чехия) и флоризиле (60–100 и 200–250 меш, Merck, Германия).

**Животные.** Образцы морских звезд *H. aspera* и *H. tumida* собраны в августе 1999 г. (Охотское море,

Курильские о-ва) в 22-м рейсе НИС “Академик Опарин” тралом с глубины 100–200 м и идентифицированы проф. В.С. Левиным (Тихоокеанский институт биоорганической химии ДВО РАН).

**Биоиспытания.** Цитостатическая активность соединений (I)–(VI) по отношению к оплодотворенным яйцеклеткам морского ежа *St. intermedius* определена по описанному ранее методу [4].

**Экстракция и выделение суммарных фракций.** Измельченные морские звезды *H. aspera* (масса животных 0.32 кг) исчерпывающе экстрагировали 95% этанолом при комнатной температуре. Объединенный спиртовый экстракт упарили в вакууме до сырого смелообразного остатка (30 г), который хроматографировали на колонке (6 × 25 см) с силикагелем (80–100 меш) в системе хлороформ–этанол (100 : 0 → 45 : 55). Получили две фракции полиоксистероидов – менее полярную I (0.83 г), состоявшую из гликозидов (I)–(IV), и полярную фракцию II (4.5 г), состоящую из известных хенрициозида H<sub>1</sub>, левискулозидов H и G.

Из 52 г сухого этанольного остатка морских звезд *H. tumida* (масса животных 0.23 кг) выделено по такой же схеме 0.72 г фракции I и 3 г фракции II.

**Выделение соединений (I)–(VI).** Фракцию I (*H. aspera*) растворили в воде и пропустили через колонку с полихромом (3 × 12 см), промывая колонку водой и 50% водным этанолом. Водно-этанольный элюат концентрировали в вакууме до коричневого смолистого остатка (0.1 г), который последовательно хроматографировали на колонках с сефадексом LH-60 (40 × 1.5 см) в системе  $\text{CHCl}_3\text{-EtOH}$  (4 : 1) и с флоризилом (1.5 × 20 см, 60–100 меш) в системе  $\text{CHCl}_3\text{-EtOH}$  (6 : 1 → 5 : 1). Получили фракцию, содержащую гликозиды (I)–(IV) (6.5 мг), окончательную очистку которой проводили методом ВЭЖХ на колонке с Диасфер-110-C<sub>18</sub> (5 мкм, 4 × 250 мм) с последующей рехроматографией на колонке YMC-Pack ODS-A (5 мкм, 12 нм, 10 × 250 мм). Получили 2 мг гликозида (I) (0.0006% от веса животных), 2.4 мг (II) (0.0007%), 3 мг (III) (0.0009%) и 1.2 мг (IV) (0.0003%). Из фракции II выделили 2.3 мг (0.0007%) хенрициозида H<sub>1</sub>, 4 мг (0.0004%) левискулозида G и 6 мг (0.001%) левискулозида H.

При разделении фракции I из морской звезды *H. tumida* по описанной выше схеме получили 5 мг гликозида (III) (0.002% от веса животных), 3 мг гликозида (IV) (0.001%), 2.5 мг стероида (V) (0.001%) и 3.6 мг стероида (VI) (0.001%). Из фракции II выделили 5.3 мг (0.002%) левискулозида H и 5 мг (0.002%) левискулозида G.

**Асперозид А, (20R,24R,25S)-3-O-(2,3-ди-O-метил- $\beta$ -D-ксилопиранозил)-24-метил-5 $\alpha$ -холест-4-ен-3 $\beta$ ,6 $\beta$ ,8,15 $\alpha$ ,16 $\beta$ ,26-гексаол (I),  $C_{35}H_{58}O_{10}$ , бесцветные кристаллы (MeOH), т. пл. 98–99.5°C;**

$[\alpha]_D^{20} -14$  (*c* 0.1). (+)-MALDI-TOF-масс-спектр ( $I_{\text{отн}}$ , %): псевдомолекулярный пик с  $m/z$  663 [ $M + \text{Na}$ ]<sup>+</sup> (100). Данные спектров <sup>1</sup>H- и <sup>13</sup>C-ЯМР ( $\text{CD}_3\text{OD}$ ) приведены в табл. 1–3 и в тексте.

**Асперозид В, (20R,24R,25S)-(22E)-3-O-(2,4-ди-O-метил- $\beta$ -D-ксилопиранозил)-24-метил-5 $\alpha$ -холест-22-ен-3 $\beta$ ,4 $\beta$ ,6 $\beta$ ,8,15 $\alpha$ ,26-гексаол (II),  $C_{35}\text{H}_{60}\text{O}_{10}$ , выделен с выходом 0.0007% (*H. aspera*), аморфный,  $[\alpha]_D^{20} -16$  (*c* 0.1). MALDI-TOF-масс-спектр:  $m/z$  663 [ $M + \text{Na}$ ]<sup>+</sup> (100). Спектры <sup>1</sup>H- и <sup>13</sup>C-ЯМР ( $\text{CD}_3\text{OD}$ ) углеводной части (II) приведены в табл. 3.**

**Тумидозид А, (20R)-(22E)-3-O-(2,4-ди-O-метил- $\beta$ -D-ксилопиранозил)-26,27-динор-24-метил-5 $\alpha$ -холест-22-ен-3 $\beta$ ,4 $\beta$ ,6 $\beta$ ,8,15 $\alpha$ ,25-гексаол (III),  $C_{33}\text{H}_{56}\text{O}_{10}$ , выделен с выходом 0.002% (*H. tumida*) и 0.0008% (*H. aspera*); аморфный,  $[\alpha]_D^{20} -5.3$  (*c* 0.13). MALDI-TOF-масс-спектр:  $m/z$  635 [ $M + \text{Na}$ ]<sup>+</sup> (100). Спектры <sup>1</sup>H-ЯМР ( $\text{CD}_3\text{OD}$ ): 0.98 (1 H, д,  $J$  6.8, C21-H<sub>3</sub>); 5.26 (2 H, дд, взаимно перекрываются, H22, H23); 3.40 (1 H, дд,  $J$  10.5; 6.0, H25); 3.26 (1 H, дд, H'25); 0.97 (1 H, д,  $J$  6.7, C26-H<sub>3</sub>); <sup>13</sup>C-ЯМР: 20.7 (C21), 137.7 (C22), 131.5 (C23), 40.5 (C24), 68.4 (C25), 17.2 (C26).**

**Тумидозид В, (20R,24S)-3-O-(2,3-ди-O-метил- $\beta$ -D-ксилопиранозил)-5 $\alpha$ -холестан-3 $\beta$ ,4 $\beta$ ,6 $\beta$ ,8,15 $\alpha$ ,24-гексаол (IV),  $C_{34}\text{H}_{60}\text{O}_{10}$ , выделен из двух видов звезд: *H. tumida* с выходом (0.001%), *H. aspera* (0.0003%), аморфный,  $[\alpha]_D^{20} -7$  (*c* 0.1). MALDI-TOF-масс-спектр:  $m/z$  651 [ $M + \text{Na}$ ]<sup>+</sup> (100). Спектры <sup>1</sup>H- и <sup>13</sup>C-ЯМР ( $\text{CD}_3\text{OD}$ ) даны в табл. 1, 3.**

**(20R,24S)-5 $\alpha$ -Холестан-3 $\beta$ ,6 $\beta$ ,8,15 $\alpha$ ,24-пентаол (V).**  $C_{27}\text{H}_{48}\text{O}_5$ , выделен с выходом 0.001% (*H. tumida*), бесцветные кристаллы, т. пл. 98–100°C (из MeOH),  $[\alpha]_D^{20} +4$  (*c* 0.1). MALDI-TOF-масс-спектр:  $m/z$  475 [ $M + \text{Na}$ ]<sup>+</sup> и 491 [ $M + \text{K}$ ]<sup>+</sup> (30). Данные спектров <sup>1</sup>H- и <sup>13</sup>C-ЯМР ( $\text{CD}_3\text{OD}$ ) приведены в тексте и в табл. 4.

**(20R,24S)-5 $\alpha$ -Холестан-3 $\beta$ ,6 $\beta$ ,8,15 $\alpha$ ,24-тетраол (VI).**  $C_{27}\text{H}_{48}\text{O}_4$ , выделен с выходом 0.001% (*H. tumida*), аморфный,  $[\alpha]_D^{20} +6.4$  (*c* 0.1). Данные спектров ЯМР <sup>1</sup>H и <sup>13</sup>C ( $\text{CD}_3\text{OD}$ ) приведены в табл. 4. Поскольку в масс-спектре (+)-MALDI-TOF наблюдаемая интенсивность пика с  $m/z$  459 ( $M + \text{Na}$ ]<sup>+</sup> очень мала (1–2%), мы получили масс-спектры FAB(+) и ЭУ (70 эВ). В спектре FAB(+) содержится квазимолекулярный ион с  $m/z$  459 ( $M + \text{Na}$ ]<sup>+</sup>, а в спектре электронного удара – фрагментационные пики, соответствующие отщеплению молекул  $\text{H}_2\text{O}$ , с  $m/z$  418 ( $M - \text{H}_2\text{O}$ ]<sup>+</sup> и 400 ( $M - 2 \text{H}_2\text{O}$ ]<sup>+</sup>.

## БЛАГОДАРНОСТИ

Авторы благодарны Евтушенко Е.В. за образец стандартного соединения  $\beta$ -метил-2,4-ди-O-Me-D-ксилопиранозида, использованный в работе и Левину В.С. (оба – ТИБОХ ДВО РАН) за видовую идентификацию морских звезд.

Работа выполнена при финансовой поддержке Российского фонда фундаментальных исследований (проект № 05-04-48246), гранта Президента России НШ-725.2003.4, а также программы Президиума РАН “Молекулярная и клеточная биология” (грант № 05-1-05-005).

## СПИСОК ЛИТЕРАТУРЫ

- Стоник В.А. // Успехи химии. 2001. V. 70. С. 673–715.
- Калиновский А.И., Левина Э.В., Стоник В.А., Дмитренок П.С., Андриященко П.В. // Биоорганическая химия. 2004. V. 30. С. 215–220.
- D'Auria M.V., Fontana A., Minale L., Riccio R. // Gazz. Chim. Ital. 1990. V. 120. P. 155–163.
- Левина Э.В., Калиновский А.И., Стоник В.А., Дмитренок П.С. // Изв. АН. Сер. хим. 2003. № 7. С. 1539–1543.
- Кича А.А., Калиновский А.И., Горбач Н.В., Стоник В.А. // Химия природ. соед. 1993. № 2. С. 249–253.
- Iorizzi M., Minale L., Riccio R., Yasumoto T. // J. Nat. Prod. 1992. V. 55. P. 866–877.
- Iorizzi M., Bryan P., McClintock J., Minale L., Palagiano E., Maurelli S., Riccio R., Zollo F. // J. Nat. Prod. 1995. V. 58. P. 653–671.
- D'Auria M.V., De Riccardis F., Minale L., Riccio R. // J. Chem. Soc. Perkin Trans. I. 1990. P. 2889–2893.
- Findlay J.A., He Zheng-Quan. // J. Nat. Prod. 1991. V. 54. P. 428–435.
- De Marino S., Iorizzi M., Zollo F., Minale L., Amsler C.D., Baker B.J., McClintock J.B. // J. Nat. Prod. 1997. V. 60. P. 959–966.
- Ferezou J.P., Devys M., Allais J.P., Barbier M. // Phytochemistry. 1974. V. 13. P. 593–598.
- Iorizzi M., De Marino S., Minale L., Zollo F., Le Bert V., Roussakis C. // Tetrahedron. 1996. V. 52. P. 10997–11012.
- Riccio R., Iorizzi M., Minale L. // Bull. Soc. Chim. Belg. 1986. V. 95. P. 869–893.
- Kicha A.A., Kalinovsky A.I., Levina E.V., Stonik V.A., Elyakov G.B. // Tetrahedron Lett. 1983. V. 24. P. 3893–3896.
- Minale L., Pizza C., Zollo F., Riccio R. // Tetrahedron Lett. 1982. V. 23. P. 1841–1844.
- Кича А.А., Калиновский А.И., Иванчина Н.В., Стоник В.А. // Изв. АН. Сер. хим. 1993. № 5. С. 980–982.
- Левина Э.В., Калиновский А.И., Андриященко П.В., Стоник В.А., Дмитренок П.В. // Изв. АН. Сер. хим. 2002. № 12. С. 2132–2134.
- Fisher W.K. Asteroidea of the North Pacific and Adjacent Waters. Part 1. Phanerozonia and Spinulosa. Washington, D.C.: Smithsonian Institution, U.S. National Museum, 1911. 420 p.

# Steroid Compounds from Far Eastern Starfishes *Henricia aspera* and *H. tumida*

**E. V. Levina<sup>#</sup>, A. I. Kalinovsky, V. A. Stonik, P. S. Dmitrenok, and P. V. Andriyashchenko**

<sup>#</sup>Fax: (4232) 31-4050; e-mail: levina@piboc.dvo.ru

*Pacific Institute of Bioorganic Chemistry, Far East Division, Russian Academy of Sciences,  
pr. 100-letiya Vladivostoka 159, Vladivostok, 690022 Russia*

Six new natural compounds were isolated from two Far Eastern starfish species, *Henricia aspera* and *H. tumida*, collected in the Sea of Okhotsk. Two new glycosylated steroid polyols were obtained from *H. aspera*: asperoside **A** and asperoside **B**, which were shown to be (*20R,24R,25S*)-3-*O*-(2,3-di-*O*-methyl- $\beta$ -D-xylopyranosyl)-24-methyl-5 $\alpha$ -cholest-4-ene-3 $\beta$ ,6 $\beta$ ,8,15 $\alpha$ ,16 $\beta$ ,26-hexaol and (*20R,24R,25S,22E*)-3-*O*-(2,4-di-*O*-methyl- $\beta$ -D-xylopyranosyl)-24-methyl-5 $\alpha$ -cholest-22-ene-3 $\beta$ ,4 $\beta$ ,6 $\beta$ ,8,15 $\alpha$ ,26-hexaol, respectively. Two other glycosylated polyols, tumidoside **A**, with the structure elucidated as (*20R,22E*)-3-*O*-(2,4-di-*O*-methyl- $\beta$ -D-xylopyranosyl)-26,27-dinor-24-methyl-5 $\alpha$ -cholest-22-ene-3 $\beta$ ,4 $\beta$ ,6 $\beta$ ,8,15 $\alpha$ ,25-hexaol, and tumidoside **B**, whose structure was elucidated as (*20R,24S*)-3-*O*-(2,3-di-*O*-methyl- $\beta$ -D-xylopyranosyl)-5 $\alpha$ -cholest-3 $\beta$ ,4 $\beta$ ,6 $\beta$ ,8,15 $\alpha$ ,24-hexaol, were isolated from the two starfish species. (*20R,24S*)-5 $\alpha$ -Cholestan-3 $\beta$ ,6 $\beta$ ,15 $\alpha$ ,24-tetraol and (*20R,24S*)-5 $\alpha$ -cholestan-3 $\beta$ ,6 $\beta$ ,8,15 $\alpha$ ,24-pentaol were identified only in *H. tumida*. The known monoglycosides henrioside H<sub>1</sub> and laeviuscolosides H and G were also identified in both species. The English version of the paper: *Russian Journal of Bioorganic Chemistry*, 2005, vol. 31, no. 5; see also <http://www.maik.ru>.

**Key words:** aglycones, glycosides, *Henricia aspera*, *H. tumida*, <sup>1</sup>H and <sup>13</sup>C NMR spectra, MALDI TOF mass spectra, polyhydroxysteroids